



## مقایسه دو مدل گردش عمومی جو (HadCM3, CGCM2) در پیش‌بینی پارامترهای

### اقلیمی و نیاز آبی گیاهان تحت تغییر اقلیم

(مطالعه موردی: حوضه کشفروود)

نسرين ساري<sup>۱\*</sup> - امين علزارده<sup>۲</sup> - محمد بنيان اول<sup>۳</sup> - علي رضا فريديحسيني<sup>۴</sup> - مسعود رضا حسامي كرمانی<sup>۵</sup>

تاریخ دریافت: ۸۹/۱۱/۱۷

تاریخ پذيرش: ۹۰/۴/۱۸

### چکیده

تغییر اقلیم از طریق تغییر در الگوی بارش، دما و سایر متغیرهای اقلیمی بر زیم هیدرولوژیکی نواحی مختلف تأثیر گذارد است. در این تحقیق، تأثیر گرمایش جهانی بر حداقل و حداقل دما، الگوی بارش و تبخیر و تعرق گیاهانی نظیر گندم، ذرت، گوجه فرنگی و چغندر قند در حوضه کشفروود تحت دو سناریوی انتشار A2 و B2 و دو مدل گردش عمومی جو (CGCM2 و HadCM3) در سه دوره زمانی ۳۹، ۲۰۱۰-۲۰۶۹ و ۲۰۷۰-۲۰۹۹ و ۲۰۴۰-۲۰۶۹ مورد مقایسه و ارزیابی قرار گرفت. برای ریز مقیاس نمایی از مدل ASD استفاده شده. بارش بسته به نوع مدل استفاده شده افزایش و یا کاهش پیدا کرد. نتایج همچنین نشان دادند که میانگین بارش سالانه با مدل CGCM2 و تحت دو سناریوی A2 و B2 بترتیب ۱۳ و ۱۶ درصد کاهش پیدا می‌کند در صورتی که برای مدل HadCM3 و دو میانگین بارش سالانه ۲ و ۸ درصد بترتیب افزوده می‌شود. دمای حداقل و حداقل ماهانه پیش‌بینی شده برای هر دو مدل و دو سناریو افزایش یافت. حداقل افزایش در دمای حداقل و حداقل با مدل HadCM3 در دوره ۲۰۷۰-۲۰۹۹ مشاهده شد که بترتیب در محدوده ۵/۸-۴/۲ و ۳/۸-۴/۲ درجه سانتی گراد قرار داشتند. برای مدل CGCM2 حداقل افزایش دمای حداقل و حداقل ماهانه در دوره ۲۰۷۰-۲۰۹۹ مشاهده شد که بترتیب در محدوده ۵/۹-۵/۰ و ۶/۱-۶/۱ درجه سانتی گراد قرار داشتند. تبخیر و تعرق پیش‌بینی شده با مدل HadCM3 و با هر دو سناریو برای تمامی دوره‌ها و محصولات افزایش نشان داد در صورتی که در مدل CGCM2 با هر دو سناریو میزان این افزایش بسیار ناچیز بود. مقایسه دو مدل و دو سناریو نشان داد که سناریوی A2 شرایط بحرانی‌تری را برای حوضه کشفروود پیش‌بینی می‌کند.

**واژه‌های کلیدی:** تغییر اقلیم، مدل‌های گردش عمومی جو، ریز مقیاس نمایی آماری، تبخیر و تعرق گیاه، حوضه کشفروود

### مقدمه

علاوه بر تغییر در میانگین متغیرهای اقلیمی، تغییر در مقادیر حدی بارش نسبت به مقادیر گذشته آن نیز از دیگر پیامدهایی است که معنای آن افزایش در شدت و قوع سالهای خشک و همچنین سالهای متوالی و قوع آنها می‌باشد (۲۶). تغییر اقلیم علاوه بر پوشش گیاهی، تولیدات کشاورزی و چرخه هیدرولوژیکی بر منابع آب قابل دسترس و قوع خشکسالی و سیل نیز تأثیرگذار خواهد بود. تولید محصولات کشاورزی تحت تأثیر تغییر اقلیم (افزایش دمای هوا و غلظت دی-اکسید کربن) افزوده خواهد شد ولی به دلیل تأثیر منفی بر آب فراهم و میزان بارش بر پایداری تولید در مناطق خشک و نیمه خشک تأثیری منفی بر جای خواهد گذاشت. شناخت نوسانات زمانی و مکانی پارامترهای هواشناسی (نظیر دما، بارش، رطوبت نسبی،...) و تأثیر آن بر بخش کشاورزی جهت مدیریت منابع آبی و کشاورزی و اتخاذ استراتژی‌های مناسب بسیار ضروری می‌باشد. بارش از طریق تأمین

میانگین دمای سطح زمین بر اثر انتشار گازهای گلخانه‌ای در حال افزایش می‌باشد، بطوریکه بررسی های اخیر هیات بین دول تغییر اقلیم<sup>۱</sup> افزایش میانگین دمای جهانی را ۰/۷۶ درجه سانتی گراد در قرن گذشته و ۰/۶ درجه سانتی گراد تا سال ۲۱۰۰ پیش‌بینی می‌کنند.

۱- به ترتیب دانشجوی دکتری، استاد و استادیار گروه مهندسی آب، دانشکده کشاورزی، دانشگاه فردوسی مشهد

کشاورزی، دانشگاه فردوسی مشهد

(Email: nasrin\_sayari@yahoo.com)

۲- نویسنده مسئول:

۳- دانشیار گروه زراعت و اصلاح نباتات، دانشکده کشاورزی، دانشگاه فردوسی مشهد

۴- استادیار گروه مهندسی عمران دانشگاه شهید بهشتی کرمان

۵- استادیار گروه مهندسی عمران دانشگاه شهید بهشتی کرمان

۶- IPCC: Intergovernmental Panel on Climate Change

محاسبه هر یک از متغیرهای اقلیمی نیازمند محاسبه، ذخیره و تکرار محاسبات در هر یک از نقاط شبکه می‌باشد<sup>(۶)</sup>. این مدلها قابل استفاده در مطالعات کاربردی با ابعاد کوچکتر از خود نیستند، برای مثال اغلب مطالعات هیدرولوژیکی با فرآیندهای کوچک مقیاس و زیروحشی‌ای سر و کار دارند که مقیاس آنها بسیار کوچکتر از مقیاسی است که مدل‌های گردش عمومی جو به ما می‌دهند. مدل‌های جهانی برای استفاده در مطالعات هیدرولوژیکی باید ریزمقیاس<sup>۵</sup> شوند<sup>(۳۶)</sup>. دو روش برای ریزمقیاس نمودن و به دست آوردن اطلاعات در مقیاس محلی یا ناحیه‌ای از ساریوهای اقلیمی جهانی تولید شده توسط مدل‌های گردش عمومی جو وجود دارد که عبارتند از روش روش دینامیکی و آماری. در روش اول نیاز به رایانه‌هایی با سرعت بالا داریم ولی روش دوم یعنی آماری را می‌توان بر روی رایانه‌های خانگی انجام داد و روشی سریع و ارزان است. در ریزمقیاس نمایی آماری بیشترین محدودیت مشاهدات ثبت شده می‌باشد<sup>(۱۴)</sup>. در اکثر نقاط دنیا تغییرات اقلیمی تأثیری منفی بر تولیدات کشاورزی و منابع آبی دارد. شدت این تأثیرات از ناحیه‌ای به ناحیه دیگر متفاوت است. جهت طراحی طولانی مدت منابع آبی و کشاورزی در رویارویی با اثرات تغییر اقلیمی لازم است که تمامی این اثرات در مقیاس زمانی و مکانی کمی شوند<sup>(۹)</sup>. شاه کرمی و همکاران<sup>(۵)</sup> ساریوهای تغییراتی اقلیمی دما و بارندگی در حوضه زاینده‌رود را با استفاده از هفت مدل<sup>۶</sup> AOGCM و سناریوی انتشار A2 تا افق ۲۱۰۰ تولید کردند. مدل‌های بکار رفته عبارتند از:

CCSR-NIES, CGCM2, CSIRO-MK2, ECHAM4, GFDL-R30, HadCM3, NCAR-DOE PCM  
نتایج حاصل از تحقیق آنها نشان داد که مدل‌های CGCM2 بیشترین وزن را در شبیه‌سازی متغیر دما در ماههای زمستان و NCAR برای سایر ماهها را داراست. بر این اساس بیشترین تغییرات دما در دوره ۲۰۷۰-۲۰۹۹ خواهد بود که دارای محدوده‌ای برابر با ۸/۱-۸/۲، ۳/۱-۶/۹، ۳/۱-۶/۹ و ۵/۶-۲/۳ درجه سانتی‌گراد بترتیب برای فضول بهار تا زمستان است. آنها همچنین نشان دادند که در منطقه مورد مطالعه مدل HadCM3 عملکرد بهتری نسبت به سایر مدل‌های از خود نشان می‌دهد. بایان و همکاران<sup>(۲)</sup> از مدل ENCHO\_G تحت سناریوی A1 برای ارزیابی تغییرات اقلیمی<sup>۳</sup> ایستگاه سینوپتیک ایران با استفاده از روش ریزمقیاس نمایی آماری مدل LARS-WG استفاده کردند. نتایج کلی بررسی‌های آنها برای دهه ۲۰۲۰ نشان دهنده کاهش<sup>۹</sup> درصدی بارش و افزایش میانگین

5- Downscaling

6- Atmospheric-Ocean General Circulation Model

روطیت خاک بطور مستقیم بر تولید محصولات دیم مؤثر است و از طریق تعذیه منابع آب سطحی و زیرزمینی تولید فاریاب را بطور غیرمستقیم تحت تأثیر قرار می‌دهد<sup>(۲۰)</sup>. نیاز آبی گیاهان و میزان تولید در بخش کشاورزی به تغییر در پارامترهای اقلیمی بسیار حساس می‌باشد. تغییر اقلیم بر دما و توزیع بارش تأثیرات متفاوتی دارد که در نتیجه آن بر روی توزیع مکانی و زمانی منابع آبی و همچنین نیاز آبی گیاهان و مصرف آب در بخش کشاورزی مؤثر می‌باشد<sup>(۱۲)</sup>. برای درک ماهیت پیچیده اتمسفر و پیش‌بینی تغییرات آن در آینده مدلی از اقلیم با استفاده از قوانین و روابط ریاضی بین پارامترهای مختلف اتمسفر فراهم نمود و سپس جواب سوالات مختلف را بررسی نمود. به علت پیچیدگی معادلات از نظر ریاضی و تعداد زیاد آنها و نیز پیچیده بودن شرایط مرزی، حل این معادلات به روش تحلیلی امکان پذیر نیست. بنابراین دانشمندان برای حل این معادلات به روش‌های عددی متولسل شدند. ریچاردسون در سال ۱۹۲۲ اولین مدل عددی اقلیمی را معرفی کرد، تا چندین سال این معادلات با دقت پائین و بصورت دستی حل می‌شدند تا اینکه در دهه ۱۹۷۰ با ظهور رایانه‌ها تحول عظیمی در مدل کردن اقلیم بوجود آمد<sup>(۸)</sup>. بطور کلی می‌توان مدل‌های اقلیمی را بر اساس ساختار و نوع عملکرد به چهار نوع تقسیم‌بندی نمود:

۱- مدل‌های توازن انرژی<sup>۱</sup> (EBM): این مدل‌ها دو فرآیند اساسی حاکم بر سیستم اقلیمی (توازن انرژی تابشی را در کل سطح کره زمین، انتقال انرژی بین مداری حدفاصل قطب‌ها تا استوا) را شبیه‌سازی می‌کنند. این مدل‌ها معمولاً بدون بعد یا حداقل یک بعدی هستند.

۲- مدل‌های تابشی همرفتی<sup>۲</sup> (RCM): این مدل‌ها علاوه بر موارد بالا جابجایی عمودی انرژی را نیز در نظر می‌گیرند. این مدل‌ها معمولاً یک و دو بعدی هستند. انتقال انرژی در حالت یک بعدی به دو صورت انتقال انرژی تابشی بصورت جذب و پراکنش در اتمسفر و بصورت همرفتی در جهت عمودی در اتمسفر صورت می‌گیرد.

۳- مدل‌های دو بعدی دینامیکی-آماری<sup>۳</sup> (SDM): این مدل‌ها معمولاً دو بعدی بوده و ترکیبی از دو مدل اول می‌باشند. این مدل‌ها سیستم اقلیمی را در دو بعد افقی و عمودی شبیه‌سازی می‌کنند.

۴- مدل‌های گردش عمومی جو<sup>۴</sup> (GCM): این مدل‌ها سه بعدی بوده و قادرند سیستم اقلیمی را با لحاظ نمودن اکثر فرآیندها در مقیاس جهانی و یا قاره‌ای شبیه‌سازی کنند. این مدل‌ها برای

1- Energy Balance Models

2- Radiative-Convective Models

3- Statistical-Dynamical Models

4- General Circulation Models

بارش) از مدل گردش عمومی HadCM3، برای ریزمقیاس نمودن از مدل ریزمقیاس نمایی آماری برای دوره های ۲۰۱۱-۲۰۴۰، ۲۰۷۰-۲۰۷۱ و ۲۰۹۹-۲۰۴۱ تحت سنتاریوهای انتشار A2 و B2 استفاده کردند. نتایج آنها نشان دادند که برای دوره زمانی ۲۰۷۱-۲۰۹۹، حجم رواناب برای فصل بارندگی با سنتاریوهای A2 و B2 بترتب ۱۱/۶ و ۱۰/۱ درصد کاهش خواهد یافت. آنها همچنین نشان دادند که رواناب فصلی و سالیانه زمانی که دما ۲ درجه سانتی گراد افزایش و بارش ۲۰ درصد کاهش یابد، تقریباً ۳۳ درصد کاهش می یابد. فریز و همکاران (۱۹) طی تحقیقی تغییراقلیم و اثرات آن را بر محصولات کشاورزی مدیترانه را مورد بررسی و آنالیز قرار دادند. بر طبق نتایج حاصله عملکرد گندم دوروم برای قرن آینده در اثر افزایش غلظت دی اکسید کربن، افزایش دما و کاهش بارش کاسته خواهد شد. این اثرات منفی از عرض های جغرافیایی پائین تر شروع شده و با افزایش عرض جغرافیایی میزان این اثرات منفی نیز افزوده می شود. روی و همکاران (۳۳) تاثیرات تغییراقلیم و تنش رطوبتی را بر محصولات کشاورزی در جنوب غربی بنگلادش مورد بررسی قرار دادند. آنها تغییراقلیم را تا سال ۲۰۷۵ تعیین نمودند. بر اساس نتایج حاصله متوسط دما برای سالهای ۲۰۳۰-۲۰۷۵ و بترتب ۰/۸۸ و ۰/۴۲ درجه سانتی گراد افزوده می شوند. افزایش دما در ماههای زمستان بیش از سایر ماههای سال خواهد بود. بر اساس نتایج آنها، افزایش در میانگین بارش سالانه برای سالهای ۲۰۳۰-۲۰۷۵ و بترتب برای ۲ و ۱۰/۱ درصد بود. هارمسن و همکارانش (۲۴) بارش، تبخیر و تعرق مرجع (ینمن- مانتیس) را برای چند مکان در پورتريکو تحت شرایط تغییراقلیم پیش بینی نمودند. داده های بارش و دما بصورت آماری و با استفاده از مدل گردش عمومی DOE/NCR PCM تحت سه سنتاریوی A2، B1، A1 در سال ۲۰۰۹ با محاسبه تبخیر و تعرق تحت شرایط تغییراقلیم (۱۷) در سال ۲۰۱۰-۲۰۳۹ و ۲۰۱۰-۲۰۹۹ و در دو دوره ۲۰۷۰-۲۰۹۹ نشان دادند که نیاز آبی برای دوره اول ۸ درصد و برای دوره دوم ۲۲ درصد افزایش پیدا خواهد کرد. یانگ و همکارانش (۲۷) نیز در سال ۲۰۱۰ نشان دادند که پارامترهای اقلیمی نظریه ماکریم و میانگین دمای هوای رطوبت نسبی و ساعات روشنایی از مهمترین متغیرهای اقلیمی مؤثر بر تبخیر و تعرق بوده و با داشتن این متغیرها تبخیر و تعرق برای دوره های آینده قابل محاسبه و پیش بینی خواهد بود.

## مواد و روش ها

منطقه مورد مطالعه حوضه کشف رود است که در شمال شرق

سالانه دما در حدود ۵/۰ درجه سانتیگراد می باشد که بیشترین افزایش ماهانه دما مربوط به ماههای سرد سال است. همچنین استانهای خراسان شمالی، آذربایجان غربی و شرقی با بیشترین افزایش دما در دهه ۲۰۲۰ مواجه خواهند بود. مساح باوانی و مرید (۲۸) تأثیر تغییراقلیم را در دو دوره ۲۰۱۰-۲۰۳۹ و ۲۰۷۰-۲۰۹۹ بر منابع آبی حوضه زاینده رود مورد بررسی قرار دادند. آنها برای ارزیابی تغییراقلیم HadCAM3 (بارش و دمای ماهانه) را تحت دو سنتاریوی A2 و B2 و برای دوره های زمانی انتخاب شده به مقابس محلی ریزمقیاس نمودند. نتایج آنها نشان داد که برای هر دو دوره میانگین بارش سالانه کاهش و دما افزایش پیدا می کند، بدین صورت که بارش از ۱۰ تا ۱۶ درصد کاهش و دما از ۳/۲ تا ۴/۶ درجه سانتی گراد بترتب برای سنتاریوهای A2 و B2 افزوده خواهد شد. سلطانی و قلی پور (۴) نشان دادند که تحت شرایط تغییراقلیم در ایران دوره رشد و نیاز آبی گیاهان کاسته خواهد شد. عباسپور و همکاران (۹) مدل CGCM3.1 را تحت سنتاریوهای انتشار A2 و B2 برای پیش بینی بارش و دما در ایران استفاده نمودند. نتایج آنها نشان داد که تغییرات بارش در ماههای پاییز بیشتر از ماههای تابستان خواهد بود. آنها برای دوره ۲۰۳۹-۲۰۱۰ و ۲۰۷۰-۲۰۹۹ تحت تمامی سنتاریوهای مورد استفاده افزایش بارش را در قسمتهای شمالی و جنوبی و کاهش ۴۰ درصدی در بارش را برای مناطق جنوب شرقی کشور پیش بینی کردند. آنها میزان A2 و B2 پیش بینی کردند. آنها همچنین نشان دادند که سنتاریوی A2 بحرانی ترین وضعیت را در آینده نشان خواهد داد. سلطانی و سلطانی (۳۵) تغییراقلیم را در استان خراسان در دوره زمانی ۱۹۵۰-۲۰۰۴ مورد بررسی قرار دادند. آنها روندی افزایشی در حداقل و حدکثر دما را طی دهه های گذشته در شهر مشهد به لیل پیشرفت صنعتی و شهری مشاهده کردند. چانگ و همکارانش (۱۵) تأثیر تغییر اقلیم بر منابع آبی در جنوب غربی بلغارستان را مورد بررسی قرار دادند. آنها از یک مدل هیدرولوژیکی بر مبنای سنجش از دور و دو مدل اقلیمی HadCM2 (CCC) در دو دوره زمانی ۲۰۸۵-۲۰۲۵ استفاده کردند. نتایج حاصل از هر دو مدل، حساسیت رواناب به تغییراقلیم را نشان دادند. آنها نشان دادند که حدکثر رواناب به اوایل بهار منتقل و کاهش زیادتری در رواناب تابستانه (بدلیل کاهش در بارندگی) رخ خواهد داد. ردیگر دیاز و همکاران (۳) اثرات تغییراقلیم بر نیاز آبیاری را در حوضه رودخانه Guadalquivir در اسپانیا مورد بررسی قرار دادند. نتایج حاصل از مطالعه آنها به وضوح افزایش در خشکی و نیاز آبیاری را نشان داد. همچنین مدل سازی نیاز آبیاری نشان داد که نیاز آبی آبیاری در دوره زمانی ۲۰۴۱-۲۰۷۰ بسته به مکان و الگوی کشت تقریباً ۱۵ تا ۲۰ درصد افزایش خواهد یافت. عبدالوهمکاران (۱۰) برای ارزیابی اثرات تغییراقلیم بر هیدرولوژی (حداقل و حدکثر دما و

تعرق گیاهانی نظیر گندم، گوجه‌فرنگی، ذرت، چغندرقند (موجود در الگوی کشت حوضه کشف‌رود) برای دوره‌های مذکور با استفاده از معادله هارگریوز و سامانی (۱۹۸۵) محاسبه گردید.

$$ET_o = 0.0135(KT)R_a(TD)^{0.5}(T + 17.8) \quad (3)$$

$$KT = 0.00185(TD)^2 - 0.0433(TD) + 0.4023 \quad (4)$$

$$TD = T_{\max} - T_{\min} \quad (5)$$

که  $ET_o$  تبخیر و تعرق مرجع بر حسب میلی‌متر بر روز و  $T$  میانگین دمای ماهانه،  $T_{\min}$  و  $T_{\max}$  بترتیب دمای حداقل و حداقل ماهانه بر حسب درجه سانتی‌گراد می‌باشند.  $R_a$  تابش فرازمنی می‌باشد که بر حسب مگاژول بر روز بوده و بر اساس عرض جغرافیایی برای هر ماه عددی مشخص است. برای محاسبه تبخیر و تعرق گیاه مورد نظر از معادله زیر استفاده می‌کنیم که در آن  $Kc$  ضریب گیاهی می‌باشد:

$$ET_c = ET_o \times Kc \quad (6)$$

مطالعات علیزاده و کمالی (۷) نشان دادند که در اغلب ایستگاههای هواشناسی ایران نتایج روش هارگریوز و پمن نزدیک و دارای همبستگی بالایی می‌باشند. بر اساس نتایج آنها همبستگی این دو روش در مشهد برای میانگین سالانه حدود ۰/۹۹ بودست آمد. برای مقایسه نتایج حاصله از دو مدل و دو سناریوی استفاده شده در مراحل ارزیابی و واسنجی از شاخصهای آماری میانگین مربعات خطایها ( $MSD^5$ ) و مربع حداقل همبستگی ( $LCS^6$ ) و ریشه مربعات میانگین میانگین خطایها ( $RMSE^7$ ) استفاده شد (۱۳):

$$MSD = \sum_{i=1}^n (Simulated_i - Observed_i)^2 / n \quad (7)$$

$$RMSE = \left[ \frac{\sum_{i=1}^n (simulated_i - Observed_i)^2}{n} \right]^{0.5} \quad (8)$$

$$LCS = 2SD_s SD_m (1 - r) \quad (9)$$

در این معادلات  $SDs$  انحراف معیار بین داده‌های مشاهده شده و پیش‌بینی شده و  $SDm$  ضریب همبستگی داده‌های مشاهده شده و پیش‌بینی شده می‌باشد.  $MSD$  مؤید انحراف کلی پیش‌بینی از مشاهدات است و  $LCS$  معرف الگوی زمانی نوسانات مشاهدات و پیش‌بینی‌هاست.

کشور و در شمال استان خراسان بین طول‌های جغرافیایی ۵۸ درجه و ۲ دقیقه تا ۶۰ درجه و ۸ دقیقه و عرض‌های جغرافیایی ۳۵ درجه و ۴۰ دقیقه تا ۳۶ درجه و ۳ دقیقه قرار دارد (شکل ۱). وسعت کل حوضه آبریز کشف‌رود در حدود ۱۶۵۰۰ کیلومتر مربع است که ۵۰۰۰ کیلومتر مربع آن را دشت و بقیه آن را ارتفاعات تشکیل می‌دهد. میانگین دمای سالانه در این منطقه ۱۳/۶ درجه سانتی‌گراد و میانگین بارش سالانه برابر با ۲۲۰ میلی‌متر می‌باشد. در مناطق کوهستانی میانگین بارش از این مقدار بیشتر می‌باشد بطوری که به ۳۲۴ میلی‌متر می‌رسد. میانگین تبخیر و تعرق سالانه برابر با ۷۳۵ میلی‌متر و اقلیم این منطقه خشک و سرد است.

در این تحقیق از خروجی دو مدل GCM استفاده شد. اولین مدل HadCM3 است که در مرکز تحقیقاتی<sup>۱</sup> HCCPR در انگلیس اجرا شده است. این مدل دارای شبکه‌ای با ابعاد ۲/۵ درجه عرض جغرافیایی و ۳/۷۵ درجه طول جغرافیایی است. HadCM3 یک مدل GCM (جفت شده جوی-اقیانوسی) است که توسط گردون و همکارانش (۲۲) در سال ۲۰۰۰ ارائه شده است (برای اطلاع بیشتر می‌توانید به میشل و همکاران (۳۰) نیز مراجعه نمایید). مدل بعدی CGCM2 است که دارای شبکه‌ای با ابعاد ۳/۷ درجه عرض جغرافیایی و ۳/۷ درجه طول جغرافیایی می‌باشد و این مدل نیز یک مدل جفت شده جوی-اقیانوسی است (۱۸ و ۳۴). این پیش‌بینی‌ها بر اساس سناریوی انتشار A2 (جهانی بسیار ناهمگن با تولید و انتشار متوسط تا بالای دی‌اکسید کربن) و B2 (جهانی همگن با تولید و انتشار پائین تا متوسط دی‌اکسید کربن) انجام شدند (۲۶). در این مطالعه از روش ریزمقیاس نمایی آماری (نرم‌افزار ASD) برای تعییر مقیاس زمانی و مکانی داده‌های حداقل، حداقل و میانگین دما و بارش بعنوان خروجی مدل استفاده شد. این مدل توسط حسامی و همکاران (۲۵) ارائه شده است. با توجه به معیار توصیه شده توسط سازمان جهانی هواشناسی<sup>۲</sup> WMO دوره سی ساله ۱۹۶۱-۱۹۹۰ به عنوان دوره مرجع در نظر گرفته شد. از داده‌های متعلق به ۱۵ سال اول برای واسنجی<sup>۳</sup> (کالیبراسیون) و از ۱۵ سال بعدی برای اعتبارسنجی<sup>۴</sup> نحوه عملکرد مدل ASD استفاده شد. در این تحقیق ۳ پارامتر هیدرولوژیکی یعنی بارش، دماهای حداقل، حداقل را با استفاده از نرم‌افزار ASD در سه دوره آماری ۲۰۶۱-۲۰۳۹، ۲۰۱۰-۲۰۳۹ و ۲۰۴۰-۲۰۷۰-۲۰۹۹ برای دو مدل HadCM3 و CGCM2 و دو سناریوی A2 و B2 پیش‌بینی شدند. در مرحله بعدی با استفاده از پارامترهای پیش‌بینی شده با دو مدل گردش عمومی جو (CGCM2-HadCM3) و دو سناریوی انتشار (B2-A2)، تبخیر و

1- Hadley Center for Climate Prediction and Research

2- World Meteorological Organization

3- Calibration

4- Validation

5- Mean Squared Deviation

6- Least Correlation Square

7- Root Mean Square Error

## نتایج و بحث

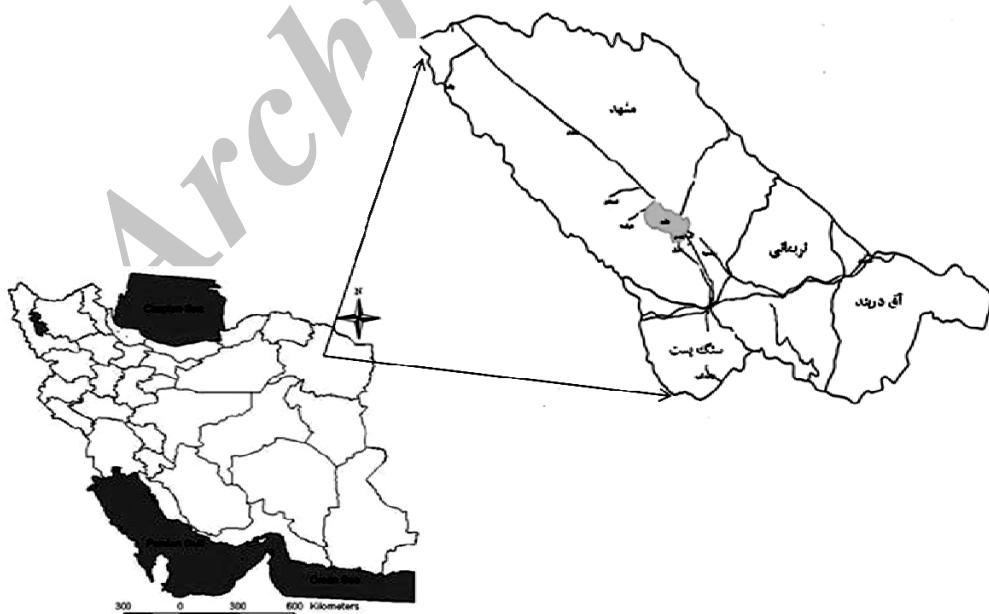
### ارزیابی و واسنجی مدل ASD

واسنجی و ارزیابی مدل برای حداقل، حداکثر دما و بارش ماهانه با استفاده از داده‌های روزانه ۱۹۶۱-۱۹۹۰ انجام شد. نتایج آنالیز آماری برای مقادیر مشاهده شده در برابر مقادیر پیش‌بینی شده در جدول ۱ بطور خلاصه آمده است.

حداقل و حداکثر دمای پیش‌بینی شده با استفاده از دو مدل و دو سناریو تطابق خوبی با داده‌های مشاهده شده داشتند. مقادیر برای کالیبراسیون و اعتبارسنجی بترتیب در محدوده  $0^{\circ}\text{C}$ - $30^{\circ}\text{C}$  قرار داشتند. داده‌های بارش پیش‌بینی شده نیز تطابق خوبی با داده‌های پیش‌بینی شده داشتند ولی مدل HadCM3 سناریوی B2 نسبت به مدل CGCM2 در شبیه‌سازی بارش از دقت بالاتری برخوردار بود. تحت سناریوی A2 دو مدل دارای دقت یکسانی بودند. محدوده مقادیر RMSE برای واسنجی و ارزیابی بارش بترتیب  $0.965$  و  $0.954$  بود. محدوده مقادیر MSD برای کالیبراسیون مدل HadCM3 برابر با  $1.05$  و خربی همسنگی برای دما و بارش بترتیب باری  $1.16$  و  $1.85$  بود. محدوده LCS برابر با  $1.15$  و  $2.29$  بود. مقادیر MSD برای اعتبارسنجی مدل HadCM3 برابر با  $1.04$  و  $0.85$  بود. محدوده مقادیر LCS برابر با  $1.12$  و  $0.43$  بود. مدل

HadCM3 با دقت دما و الگوی بارش را برای دوره‌های انتخاب شده پیش‌بینی می‌کند. این مقادیر نشان دهنده دقت بالای مدل می‌باشد. نتایج حاصل از کالیبراسیون و اعتبارسنجی مدل HadCM3 نشان دادند که پیش‌بینی‌ها تحت سناریوی B2 نسبت به سناریوی A2 دقت بالاتری داشتند. ولی این تفاوت معنی‌دار نبود ( $P > 0.05$ ). حداکثر دمای پیش‌بینی شده توسط این مدل در ماههای گرم نسبت به ماههای سرد سال دارای انحراف استاندارد کمتری بود. کالیبراسیون مدل CGCM2 دارای ضریب همبستگی ۱ برابر دما و بارش می‌باشد. محدوده MSD بترتیب برابر با  $0.04$  و  $0.03$  برابر دما و بارش می‌باشد. محدوده LCS بترتیب برابر با  $0.0003$  و  $0.0002$  برابر دما و بارش می‌باشد. مقادیر MSD برای اعتبارسنجی این مدل دارای محدوده‌ای باشد. مقادیر باری برابر با  $0.034$  و  $0.023$  بودند. قرار داشتند. داده‌های بارش پیش‌بینی شده تحت سناریوی B2 نسبت به مدل CGCM2 در شبیه‌سازی بارش از دقت بالاتری برخوردار بود. تحت سناریوی A2 دو مدل دارای دقت یکسانی بودند. محدوده مقادیر RMSE برای واسنجی و ارزیابی بارش بترتیب  $0.965$  و  $0.954$  بود. محدوده مقادیر MSD برای کالیبراسیون مدل HadCM3 برابر با  $1.05$  و خربی همسنگی برای دما و بارش بترتیب باری  $1.16$  و  $1.85$  بود. محدوده LCS برابر با  $1.15$  و  $2.29$  بود. مقادیر MSD برای اعتبارسنجی مدل HadCM3 برابر با  $1.04$  و  $0.85$  بود. محدوده مقادیر LCS برابر با  $1.12$  و  $0.43$  بود. مدل

HadCM3 تحت دو سناریو بسیار مشابه و تفاوت آنها بسیار ناچیز بود (جدول ۱). بارش پیش‌بینی شده در ماههای پائیز بیش برآورد و در ماههای زمستان و بهار کم برآورد شد که دلیل آن را می‌توان اریب ناحیه‌ای بارش دانست (۲۹). بر همین اساس می‌توان گفت که این مدل در برآورد دما دارای دقت بالاتری نسبت به بارش می‌باشد و دمای پیش‌بینی شده تطابق زیادتری با داده‌های مشاهداتی داشت.



شکل ۱- موقعیت حوضه کشف‌رود

جدول ۱- ارزیابی و اسننجی حداقل، حداکثر دما و بارش ماهانه با مدل‌های CGCM2 و HadCM3 و سناریوهای انتشار A2 و B2

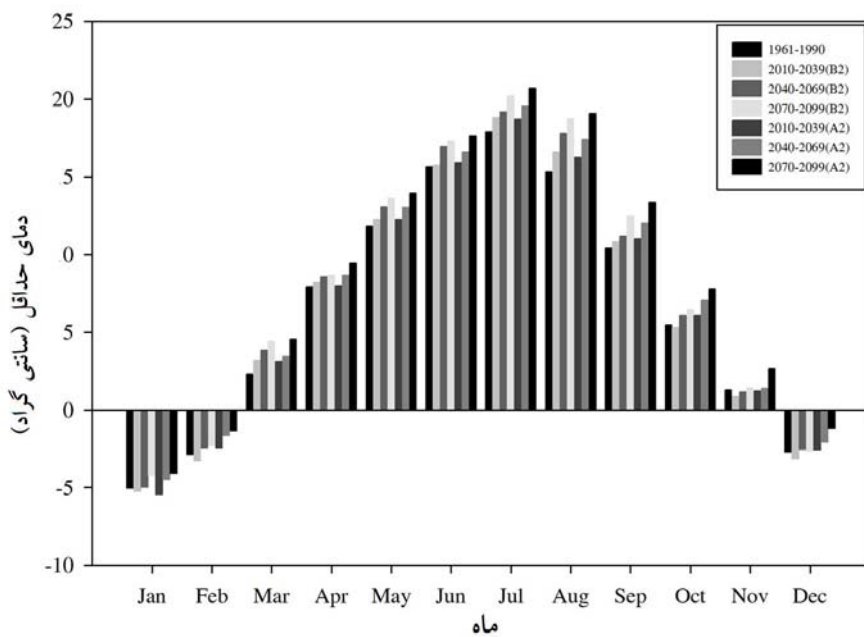
			دماي حداقل ماهانه (°C)												
			Jan	Feb	Mar	Apr	May	Jun	Jul	Aug	Sep	Oct	Nov	Dec	
HadCM3	A2	کالیبراسیون	پيش بيني شده	-۵/۹۵	-۳/۰۴	۲/۳۸	۷/۶	۱۱/۶۳	۱۵/۲۷	۱۷/۵۶	۱۴/۹۷	۱۰/۲۵	۵/۰۸	۰/۸	-۳/۵۳
		مشاهده شده	مشاهده شده	-۵/۹۲	-۳/۰۵	۲/۳۸	۷/۴۳	۱۱/۶۲	۱۵/۲۸	۱۷/۵۶	۱۴/۹۸	۱۰/۲۴	۵/۰۷	۰/۷۹	-۳/۵۴
		اعتبارسنجي	پيش بيني شده	-۶/۱	-۲/۶۸	۲/۴۲	۷/۱۸	۱۱/۹۲	۱۵/۳	۱۸	۱۵/۹۴	۱۰/۴	۴/۸۲	۰/۶	-۳/۳۷
	B2	کالیبراسیون	مشاهده شده	-۴/۴۷	-۲/۰۳	۲/۴۶	۹	۱۲/۶۳	۱۶/۳۱	۱۸/۹	۱۵/۱۴	۱۰/۰۳	۵/۴۳	۰/۹۹	-۲/۳۸
		اعتبارسنجي	پيش بيني شده	-۵/۹۵	-۳/۰۴	۲/۳۸	۷/۶	۱۱/۶۳	۱۵/۲۸	۱۷/۵۶	۱۴/۹۷	۱۰/۲۵	۵/۰۸	۰/۸	-۳/۵۳
		کالیبراسیون	پيش بيني شده	-۵/۹۵	-۳/۰۴	۲/۴۲	۷/۶	۱۲/۰۴	۱۵/۱۳	۱۸/۱۶	۱۵/۵۷	۱۰/۱۴	۵	۰/۷	-۳/۱۶
CGCM2	A2	کالیبراسیون	پيش بيني شده	-۵/۹۵	-۳	۲/۴۶	۷/۳۷	۱۱/۷۲	۱۵/۲۸	۱۷/۵۵	۱۴/۹۳	۱۰/۲۶	۵	۰/۸	-۳/۲۵
		اعتبارسنجي	پيش بيني شده	-۵/۸۹	-۲/۷۳	۲/۴۴	۷/۴۵	۱۱/۷۲	۱۵/۳۸	۱۷/۵۶	۱۵	۱۰/۴	۵	۰/۷۴	-۳/۴۷
		کالیبراسیون	پيش بيني شده	-۵/۹۵	-۳	۲/۴۶	۷/۳۷	۱۱/۷۲	۱۵/۲۸	۱۷/۵۵	۱۴/۹۳	۱۰/۲۶	۵	۰/۸۰	-۳/۲۵
	B2	کالیبراسیون	پيش بيني شده	-۵/۸۹	-۲/۷	۲/۴۷	۷/۴۶	۱۱/۷۵	۱۵/۴۱	۱۷/۷۶	۱۵/۱	۱۰/۴	۵/۰۲	۰/۷۳	-۳/۴۴
		اعتبارسنجي	پيش بيني شده	-۵/۸۹	-۲/۷	۲/۴۷	۷/۴۶	۱۱/۷۵	۱۵/۴۱	۱۷/۷۶	۱۵/۱	۱۰/۴	۵/۰۲	۰/۷۳	-۳/۴۴

			دماي جداکثر ماهانه (°C)												
			Jan	Feb	Mar	Apr	May	Jun	Jul	Aug	Sep	Oct	Nov	Dec	
HadCM3	A2	کالیبراسیون	پيش بيني شده	۶/۴۱	۸/۶۷	۱۴/۲۵	۱۹/۸۳	۲۶/۶۱	۳۲/۱۴	۳۳/۹۶	۳۲/۶۱	۲۸/۱۷	۲۲/۱۴	۱۵/۸۳	۹/۳۴
		مشاهده شده	مشاهده شده	۶/۴۴	۸/۶۷	۱۴/۲۶	۱۹/۸۵	۲۶/۶۲	۳۲/۱۴	۳۳/۹۷	۳۲/۶۲	۲۸/۱۶	۲۲/۱۴	۱۵/۸۳	۹/۳۵
		اعتبارسنجي	پيش بيني شده	۶/۶۳	۸/۹۳	۱۳/۹	۱۹/۵۵	۲۶/۷	۳۲/۳	۳۴/۶۷	۳۳/۲۵	۲۸	۲۱/۶۴	۱۶/۱۱	۱۰/۴۷
	B2	کالیبراسیون	پيش بيني شده	۶/۴۴	۸/۶۷	۱۴/۲۶	۱۹/۸۶	۲۶/۶۲	۳۲/۱۵	۳۳/۹۶	۳۲/۶۲	۲۸/۱۶	۲۲/۱۳	۱۵/۸۲	۹/۳۳
		اعتبارسنجي	پيش بيني شده	۶/۴۸	۸/۶۸	۱۳/۹۵	۱۹/۵۵	۲۶/۹۷	۳۱/۹۶	۳۵/۴۸	۳۳/۴۲	۲۸/۱	۲۲/۷	۱۶/۲۱	۱۰/۶۳
		کالیبراسیون	پيش بيني شده	۶/۴	۸/۶۸	۱۴/۳۴	۱۹/۷۶	۲۶/۷۷	۳۲/۱۴	۳۳/۹	۳۲/۵۸	۲۸/۱۸	۲۲	۱۵/۸۴	۹/۳۶
CGCM2	A2	کالیبراسیون	پيش بيني شده	۶/۵	۸/۹۳	۱۴/۲۷	۱۹/۸۱	۲۶/۸۳	۳۲/۳	۳۳/۹۵	۳۲/۷۸	۲۸/۳۶	۲۲	۱۵/۹۸	۹/۴۵
		اعتبارسنجي	پيش بيني شده	۶/۴	۸/۶۸	۱۴/۳۴	۱۹/۷۶	۲۶/۷۷	۳۲/۱۴	۳۳/۹۶	۳۲/۵۸	۲۸/۱۸	۲۲	۱۵/۸۴	۹/۳۶
		کالیبراسیون	پيش بيني شده	۶/۵	۸/۹۶	۱۴/۳۲	۱۹/۸	۲۶/۸۵	۳۲/۳۷	۳۳/۹۵	۳۲/۷۹	۲۸/۳۷	۲۲	۱۶	۹/۴۹
	B2	کالیبراسیون	پيش بيني شده	۶/۴	۸/۶۸	۱۴/۳۴	۱۹/۷۶	۲۶/۷۷	۳۲/۱۴	۳۳/۹۶	۳۲/۵۸	۲۸/۱۸	۲۲	۱۵/۸۴	۹/۳۶
		اعتبارسنجي	پيش بيني شده	۶/۵	۸/۹۶	۱۴/۳۲	۱۹/۸	۲۶/۸۵	۳۲/۳۷	۳۳/۹۵	۳۲/۷۹	۲۸/۳۷	۲۲	۱۶	۹/۴۹

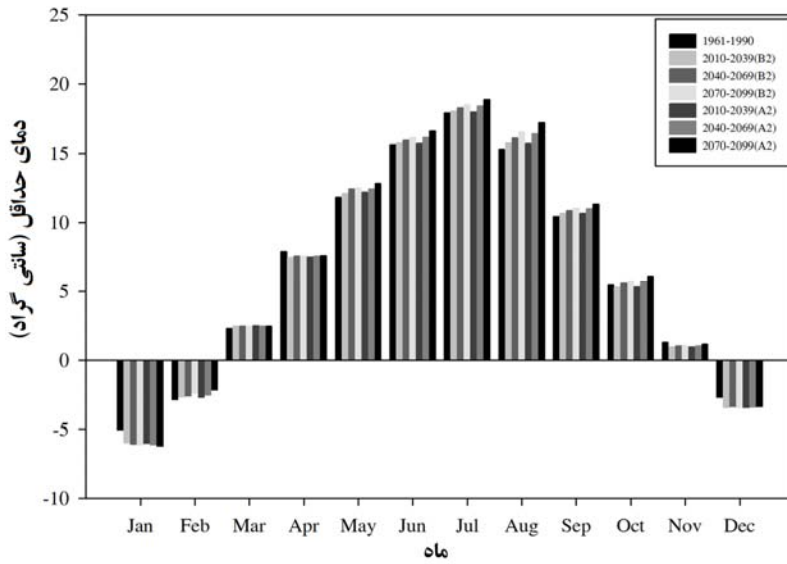
			میانگین بارش ماهانه (mm)												
			Jan	Feb	Mar	Apr	May	Jun	Jul	Aug	Sep	Oct	Nov	Dec	
HadCM3	A2	کالیبراسیون	پيش بيني شده	۲۰/۶	۲۶	۴۷	۴۵	۴۲	۹	۰	۰	۸	۱۶	۳۳	۲۸
		مشاهده شده	مشاهده شده	۲۴	۲۸	۴۸/۷	۴۴/۸	۲۶/۵	۳	۱	۰/۵	۱	۱۰/۶۷	۱۷	۲۳
		اعتبارسنجي	پيش بيني شده	۲۱	۲۹/۴	۵۲	۴۶	۴۰	۶/۶	۰	۰	۸/۵	۱۹/۵	۳۰/۳	۲۳/۷
	B2	کالیبراسیون	پيش بيني شده	۲۰/۶	۲۶	۵۳	۴۳	۳۷/۶	۶/۳	۰	۰	۸/۶	۲۰	۳۰/۴	۲۳/۲
		اعتبارسنجي	پيش بيني شده	۲۰/۸	۲۹	۵۳	۴۳	۳۷/۶	۶/۳	۰	۰	۸/۶	۲۰	۳۰/۴	۲۳/۲۴
		کالیبراسیون	پيش بيني شده	۲۴	۲۵/۶	۴۴/۶	۴۳/۴	۲۴/۴	۱۴/۴	۱/۲	۰/۸	۱/۲۶	۶/۶۴	۱۵/۴	۲۲/۵
CGCM2	A2	کالیبراسیون	پيش بيني شده	۲۳/۳	۲۵/۶	۴۵	۴۲	۲۴/۷	۲۸/۳	۱/۳	۰/۵	۱/۲	۶/۵	۱۶	۲۳/۵
		اعتبارسنجي	پيش بيني شده	۲۴	۲۶/۳	۴۵/۷	۴۴	۲۶/۸	۱۱	۱/۵	۰	۱	۷/۳	۱۵/۶	۲۱/۹
		کالیبراسیون	پيش بيني شده	۲۲	۲۵/۶	۴۴/۵	۴۳	۲۸/۷	۹/۷۴	۱/۶	۰	۱/۴	۶/۹	۱۵/۴	۲۲/۵
	B2	کالیبراسیون	پيش بيني شده	۲۴	۲۶/۳	۴۵/۷	۴۴	۲۶/۸	۱۱	۱/۵	۰	۱	۷/۳	۱۵/۶	۲۱/۹
		اعتبارسنجي	پيش بيني شده	۲۴	۲۵/۶	۴۴/۵	۴۳	۲۸/۷	۹/۷۴	۱/۶	۰	۱/۴	۶/۹	۱۵/۴	۲۲/۵

برای دوره‌ای آینده قابل اعتماد می‌باشد.

نتایج حاصل از کالیبراسیون و اعتبارسنجی مدل‌های HadCM3 و CGCM2 نشان داد که استفاده از آنها برای پیش‌بینی دما و بارش



شکل ۲- دمای حداقل پیش‌بینی شده توسط مدل HadCM3 تحت دو سناریوی انتشار (B2 و A2)



شکل ۳- دمای حداقل پیش‌بینی شده توسط مدل CGCM2 تحت دو سناریوی انتشار (B2 و A2)

سانتی گراد) مشاهده شد. حداقل افزایش در دمای حداقل برای دوره ۲۰۷۰-۲۰۹۹ تحت سناریوی A2 مشاهده شد که مقدار آن برای فصول بهار، تابستان، پائیز و زمستان دارای محدوده‌ای برابر با  $1/8-2/3$ ,  $1/8-1/4$ ,  $1/8-1/1$  و برای سناریوی B2 برابر با  $2/3-0/5$ ,  $1/5-3/7$ ,  $1/4-1/9$  و  $0/3-1$  بود. در دوره زمانی ۲۰۹۹-۱۹۹۰، دمای حداقل پیش‌بینی شده توسط مدل HadCM3 تحت سناریوی 2 با سرعت  $0.6-0.8^{\circ}\text{C}/\text{decade}$  و تحت سناریوی

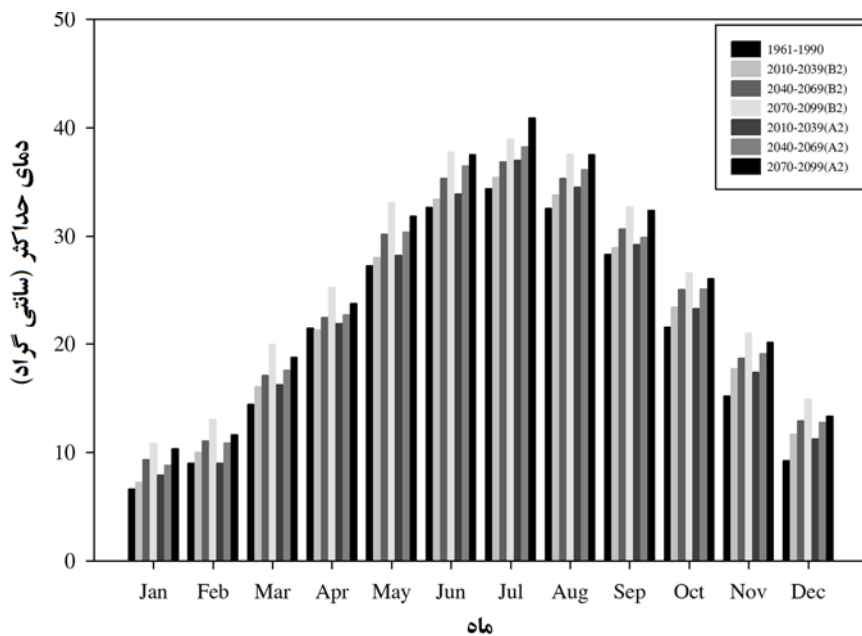
پیش‌بینی دما (حداقل و حداکثر) و بارش حداقل دمای پیش‌بینی شده برای سه دوره پیش‌بینی ۲۰۳۹-۲۰۶۹, ۲۰۴۰-۲۰۶۹ و ۲۰۷۰-۲۰۹۹ و مدل HadCM3 تحت دو سناریوی A2 و B2 در شکل ۲ و ۳ آورده شده است.

بر اساس شکل ۲، بالاترین میزان افزایش در دمای حداقل در مدل HadCM3 در تابستان و تحت سناریوی A2  $3/7$  درجه

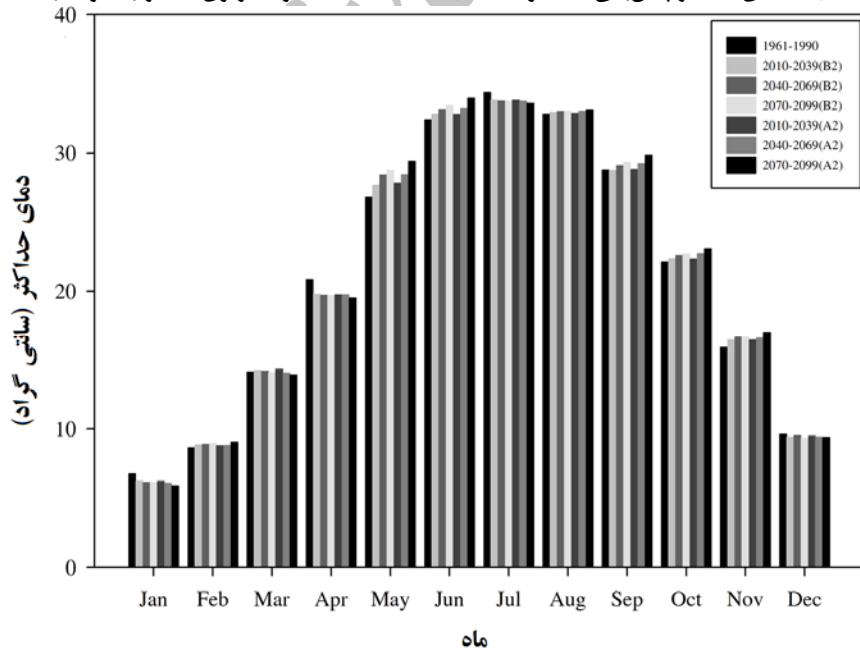
مدلها و دو سناریو افزایش پیدا کرد. افزایش دمای حداکثر تحت سناریوی B2 کمتر از سناریوی A2 بود. سناریوی A2 جهانی ناهمگن با افزایش دائم جمعیت و سناریوی B2 جهانی با تأکید بر پایداری محیط و اجتماع را توصیف می‌کند (۲۶).

با سرعت  $380\text{C}/\text{decade}$  و  $100\text{C}/\text{decade}$  افزایش می‌پابد. برای مدل CGCM2 در دوره زمانی مشابه این افزایش تحت سناریوی A2 و B2 بترتیب برابر با  $120\text{C}/\text{decade}$  و  $190\text{C}/\text{decade}$  و  $20\text{C}/\text{decade}$  می‌باشد.

بر اساس شکل‌های ۴ و ۵، دمای حداکثر برای تمامی دوره‌ها و



شکل ۴- دمای حداکثر پیش‌بینی شده توسط مدل HadCM3 تحت دو سناریوی انتشار (A2 و B2)

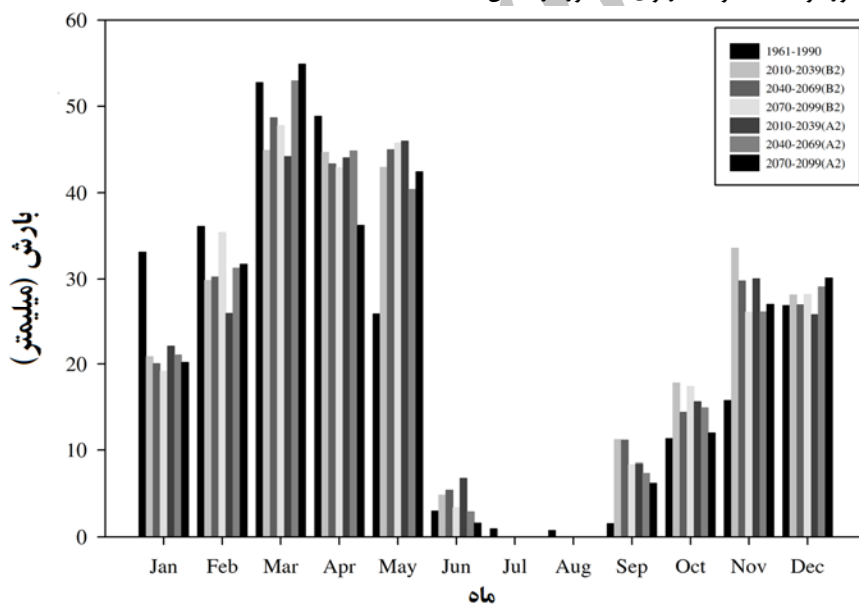


شکل ۵- دمای حداکثر پیش‌بینی شده توسط مدل CGCM2 تحت دو سناریوی انتشار (A2 و B2)

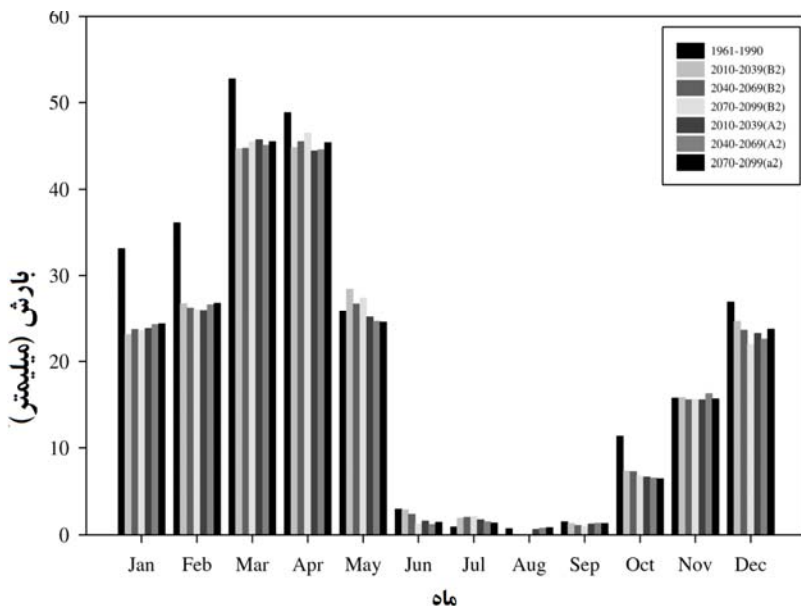
روندي افزایشی داشت. میانگین سالانه بارش تحت سناريوی A2 حدود ۴/۶۴ درصد در دوره های ۲۰۳۹-۲۰۶۹، ۲۰۱۰-۲۰۴۰ و ۲۰۹۹-۲۰۷۰ نسبت به دوره پایه افزایش پیدا کرد. این میزان افزایش برای سناريوی B2 بترتیب برابر با ۸/۶۳، ۷/۱ و ۶/۸۲ درصد بود. در این مدل میزان افزایش در میانگین بارش سالانه در سناريوی B2 بیشتر از سناريوی A2 بود. با اینکه بارش سالانه در هر سه دوره نسبت به دوره پایه افزایش نشان داد ولی تفاوت بین سه دوره بسیار ناجیز بود (شکل ۶). میانگین سالانه بارش برای هر سه دوره و تحت دو سناريوی مذکور در مدل CGCM2 کاهش یافت. میانگین سالانه بارش تحت سناريوی A2 حدود ۱۶/۱، ۱۶/۲، ۱۵/۴ درصد در دوره های ۲۰۳۹-۲۰۶۹، ۲۰۰۰-۲۰۴۰ و ۲۰۷۰-۲۰۹۹ نسبت به دوره پایه کاهش پیدا کرد. این میزان کاهش برای سناريوی B2 بترتیب برابر با ۱۳/۷، ۱۴/۹ و ۱۵/۳ درصد بود. در این مدل میزان کاهش در میانگین بارش سالانه در سناريوی B2 کمتر از سناريوی A2 بود. با اینکه بارش سالانه در هر سه دوره نسبت به دوره پایه کاهش نشان داد ولی تفاوت بین این سه دوره بسیار ناجیز بود (شکل ۷).

حداکثر افزایش در دمای حداکثر برای مدل HadCM3 تحت سناريوی A2 و در دوره ۲۰۷۰-۲۰۹۹ رخ می دهد که برای فصول بهار، تابستان، پاییز و زمستان بترتیب برابر با ۵/۸، ۵/۴-۵/۸، ۴/۴-۴/۶ درجه سانتی گراد بود. این محدوده ها برای سناريوی B2 نیز بترتیب برابر با ۴/۶، ۴/۳-۴/۶، ۴/۸-۴/۹ و ۳/۸-۴/۹ بودند. تحت سناريوی B2 و مدل HadCM3 بیشترین افزایش در دمای حداکثر در ماه تابستان مشاهده شد، در صورتی که برای سناريوی A2 این حداکثر افزایش در بهار مشاهده گردید. در دوره زمانی ۲۰۹۹-۱۹۹۰، دمای حداکثر پیش بینی شده توسط مدل HadCM3 تحت سناريوی B2 با سرعت ۰/۳۹-۰/۵۸oC/decade و تحت سناريوی A2 با سرعت ۰/۲۴-۰/۶۵oC/decade مدل CGCM2 در دوره زمانی مشابه این افزایش تحت سناريوی A2 بترتیب برابر با ۰/۰۳۳-۰/۲۶oC/decade و ۰/۰۰-۰/۱۹oC باشد.

ابراهیمی و همکاران (۱) با بررسی شرایط تغیر اقلیم و تأثیر آن بر نیاز آبی گیاهان در دشت مشهد نشان دادند که دما (حداقل، حداکثر و میانگین) در تمامی ماهها روندی افزایشی داشت. میانگین سالانه بارش برای هر سه دوره و تحت دو سناريوی مذکور در مدل



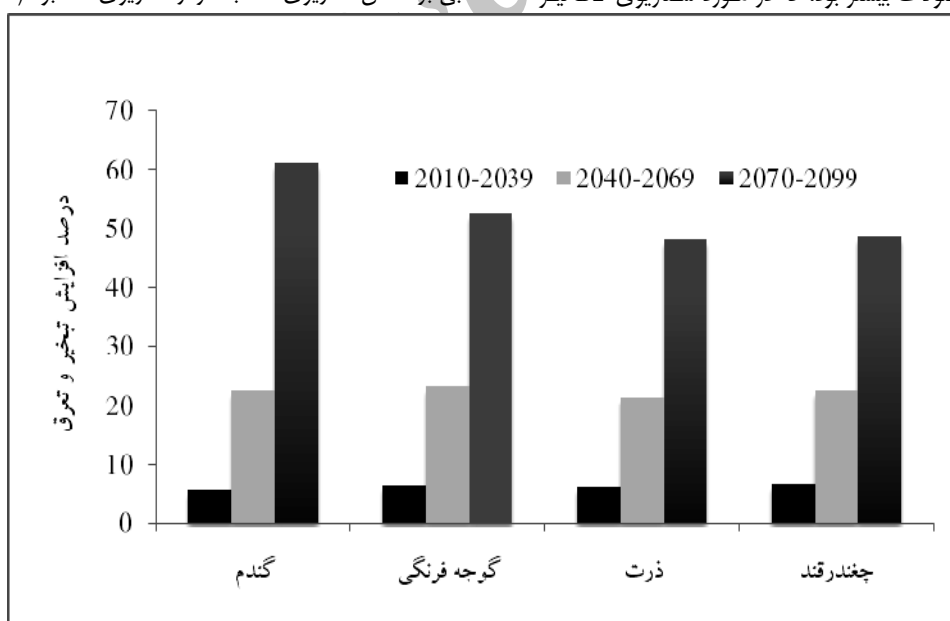
شکل ۶- بارش پیش بینی شده توسط مدل HadCM3 تحت دو سناريوی انتشار (A2 و B2)



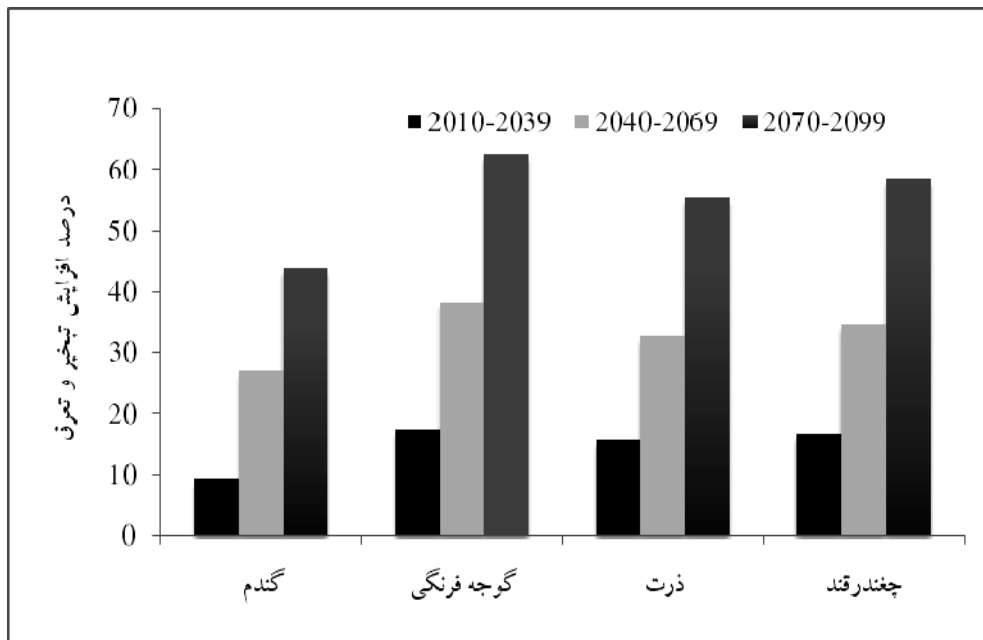
شکل ۷- بارش پیش‌بینی شده توسط مدل CGCM2 تحت دو سناریوی انتشار (A2 و B2)

این مورد مشاهد شد. گندیم و همکارانش (۲۱) نشان دادند که نیاز آبی گیاهان در شمال شرق بزریل برای سال ۲۰۴۰ با مدل HadCM3 تحت سناریوی A2 و B2 بترتیب ۱۸/۷ و ۲۲/۲ درصد نسبت به دوره پایه (۱۹۶۱-۱۹۹۰) افزایش پیدا می‌کند. آنها دلیل افزایش نیاز آبی را افزایش دمای هوا عنوان کردند. میزان افزایش نیاز آبی بر اساس سناریوی A2 بالاتر از سناریوی B2 بود (۲۱).

**پیش‌بینی تبخیر و تعرق گیاهان**  
همانطور که در شکل‌های ۸ و ۹ دیده می‌شود، تبخیر و تعرق در تمامی دوره‌ها نسبت به دوره پایه افزایش نشان می‌دهد. افزایش در نیاز آبی گیاهان میان دوره‌های مطالعه نیز روندی صودی داشت. در مدل HadCM3 تحت سناریوی A2، افزایش در نیاز آبی گندم نسبت به سایر محصولات بیشتر بود، که در مورد سناریوی B2 نیز



شکل ۸- درصد افزایش تبخیر و تعریق فصلی گیاهان مورد مطالعه در دوره‌های ۱۹۶۱-۱۹۹۰ و ۲۰۳۹-۲۰۶۹، ۲۰۱۰-۲۰۴۰-۲۰۶۹ و ۲۰۷۰-۲۰۹۹ نسبت به دوره پایه A2 با مدل HadCM3 تحت سناریوی A2



شکل ۹- درصد افزایش تبخیر و تعریق فعلی گیاهان مورد مطالعه در دوره‌های ۲۰۳۹-۲۰۶۹، ۲۰۱۰-۲۰۴۰-۲۰۶۹ و ۲۰۹۹-۲۰۷۰ نسبت به دوره پایه (سناریوی B2) با مدل HadCM3 (۱۹۶۱-۱۹۹۰)

دریگز و همکاران (۳۲) افزایش نیاز آبی و خشکی را بر اثر تغییرات قلیم در حوضه رودخانه‌ای<sup>۱</sup> در اسپانیا پیش‌بینی کردند. بر اساس مدل‌سازی نیاز آب آبیاری، آنها افزایشی حدود ۱۵ تا ۲۰ درصد در نیاز آبیاری فصلی در دهه ۲۰۵۰ را نشان دادند. رمرو و کیسلروا (۳۱) تبخیر و تعریق را تحت شرایط تغییرات قلیم (HadCM3) و در دوره ۲۰۷۱-۲۱۰۰ در کوههای جیزرا مورد بررسی قرار داده و نشان دادند که بارش فصلی کمتر و دمای بالاتر هوا در این دوره نیاز آبی را افزایش خواهد داد. باگیس و همکارانش (۱۱) نیز در سال ۲۰۱۰ با بررسی تغییرات قلیم بر نیاز آبی (معادله پنمن) نشان دادند که میزان تبخیر و تعریق در آینده خصوصاً در ماههای تابستان افزایش پیدا می‌کند.

### نتیجه‌گیری

به علت افزایش انتشار گازهای گلخانه ای انتظار می‌رود پدیده تغییرات قلیم در سال‌های آینده رخ دهد. وقوع پدیده‌هایی از قبیل افزایش یا کاهش ناگهانی دما، بارندگی و غیره، طی یک یا چند سال، این گمان را ایجاد می‌کند که وقوع چنین رفتاری را می‌توان بر اثر تغییرات قلیم در منطقه تفسیر نمود. همچنین بررسی‌های طولانی مدت نشان می‌دهد که تنها بعضی از این موارد بر اثر تغییرات قلیم بوده و بسیاری از رفتارهای طبیعی، ناشی از تاثیر انسان بر آنها می‌باشد. هدف اصلی این مطالعه برآورد تغییر در میزان بارش، دما و تبخیر و تعریق برای حوضه کشف‌رود تحت شرایط گرمایش جهانی بود. دمای

سبزی پرور و همکارانش (۳) نیز نشان دادند که در اقلیم سرد نیمه خشک (همدان) افزایش دمای هوا در طول دوره رشد بطوط متوسط موجب ۸/۵ درصد افزایش نیاز آبی گیاه (محاسبه شده با معادله پنمن مانتیث فائو ۵۶) تا سال ۲۰۵۰ می‌شود. در مورد مدل CGCM2 و دو سناریو افزایش در میزان تبخیر و تعریق برای محصولات مورد نظر بسیار کم و در برخی موارد بسیار ناچیز بود. در مدل CGCM2 (سناریوی A2) بیشترین افزایش در نیاز آبی گندم و سایر موارد افزایش بسیار جزئی بود بدین صورت که تغییری در نیاز آبی گیاهان در دوره‌های آینده پیش‌بینی نشد. در مدل CGCM2 (سناریوی B2) بیشترین افزایش در نیاز آبی گندم و در دوره ۲۰۹۹-۲۰۷۰ پیش‌بینی شد که برابر با ۵/۵ درصد بود. در دوره ۲۰۷۰-۲۰۹۹ پیش‌بینی شد که برابر با ۲/۶ درصد بود. در سایر موارد نیاز آبی گیاهان کاهش یافت که این کاهش بسیار جزئی بود. یعنی می‌توان گفت در مدل CGCM2 و سناریوی B2 تغییری در نیاز آبی گیاهان در دوره‌های آینده پیش‌بینی نشد. با توجه به مطالعات انجام شده و بررسی روند گذشته تبخیر و تعریق مدل HadCM3 با شرایط اقلیمی ناجیه مورد مطالعه تطابق بیشتر و عملکرد بهتری نسبت به مدل CGCM2 دارد. ال مهدی و همکاران (۱۷) نیز با بررسی اثرات تغییر اقلیم بر نیاز آبی گیاهان در حوضه زاینده‌رود نشان دادند که نیاز آبی گیاهان در دوره‌های ۲۰۳۹-۲۰۶۹ و ۲۰۱۰-۲۰۹۹ در حدود ۸ و ۲۲ درصد افزوده می‌شود. دل (۱۶) نشان داد که در دو سوم اراضی جهان در دهه‌های ۲۰۷۰ و ۲۰۲۰ نیاز خالص آبیاری افزایش خواهد یافت.

مورد بارش دو مدل گردش عمومی دارای نتایج متفاوتی بودند. در این مدل میزان افزایش در میانگین بارش سالانه در سناریوی B2 بیشتر از سناریوی A2 بود. با اینکه بارش سالانه در هر سه دوره نسبت به دوره پایه افزایش نشان داد ولی تفاوت بین سه دوره بسیار ناچیز بود. میانگین سالانه بارش برای هر سه دوره و تحت دو سناریوی مذکور در مدل CGCM2 کاهش یافت. میانگین سالانه بارش تحت سناریوی A2 حدود ۱۶/۱، ۱۶/۲، ۱۵/۴ درصد در دوره‌های ۲۰۱۰-۲۰۳۹، ۲۰۱۰-۲۰۶۹، ۲۰۴۰-۲۰۹۹ و ۲۰۷۰-۲۰۹۹ نسبت به دوره پایه کاهش پیدا کرد. این میزان کاهش برای سناریوی B2 بترتیب برابر با ۱۳/۷ و ۱۴/۹ و ۱۵/۳ درصد بود. در این مدل میزان کاهش در میانگین بارش سالانه در سناریوی B2 کمتر از سناریوی A2 بود.

حداقل و حداکثر و میزان بارش با استفاده از خروجی دو مدل گردش عمومی جو (HadCM3) و CGCM2 (B2) با روش ریزمقیاس نمایی آماری و نرم‌افزار ASD برای دوره‌های زمانی ۲۰۱۰-۲۰۳۹، ۲۰۴۰-۲۰۶۹ و ۲۰۷۰-۲۰۹۹ پیش‌بینی شدند. برای محاسبه تبخیر و تعرق محصولات انتخاب شده (گندم، ذرت، گوجه‌فرنگی و چغندرقد) از معادله هارربیوز-سامانی که برای منطقه مورد نظر اعتبارسنجی شده بود استفاده شد. نتایج حاصله نشان دادند که نرم‌افزار ASD ابزاری مفید جهت تولید مجدد بارش و دما برای آینده می‌باشد. مقایسه داده‌های ریزمقیاس شده برای دمای حداقل و حداکثر نشان داد که مدل تحت سناریوی B2 گرمایش کمتری را نسبت به سناریوی A2 نشان می‌دهد. دمای حداقل و حداکثر پیش‌بینی شده در تمامی موارد نشان دهنده گرمایش جهانی بودند. در

## منابع

- ابراهیمی ح، علیزاده ا. و جوانمرد س. ۱۳۸۵. بررسی وجود تغییر دما در دشت مشهد بعنوان نمایه تعییر اقلیم در منطقه. فصلنامه تحقیقات جغرافیایی. شماره ۷۹.
- باباییان ا، نجفی‌نیک ز، حبیبی نوختن، زابل عباسی ف، ادب ح. و ملبوسی ش. ۱۳۸۶. مدل‌سازی اقلیم ایران در دوره ۲۰۱۰-۲۰۳۹ با استفاده از ریزمقیاس نمایی آماری خروجی مدل ECHO-G. کارگاه فنی اثرات تعییر اقلیم در مدیریت منابع آب. کمیته ملی آبیاری و زهکشی ایران.
- سبزی پرور ع، تفضلی ف، زارع ابیانه ح، بازداد ح، غفوری م، موسوی بایگی م، و مریانچی ز. ۱۳۸۷. ارزیابی حساسیت مدل‌های مختلف تبخیر و تعرق مرجع به سیگنال‌های تعییر اقلیم در قلیم سر نیمه خشک همدان. علوم و فنون کشاورزی و منابع طبیعی. سال دوازدهم. شماره ۴۶ (ب). صفحات: ۵۸۱-۵۹۲.
- سلطانی ا و قلی‌پور م. ۱۳۸۵. شبیه‌سازی اثر تعییر اقلیم بر رشد، عملکرد و مصرف آب نخود. مجله علوم کشاورزی و منابع طبیعی. سال سیزدهم. شماره ۲.
- شاه کرمی ن، مساح بوانی ع، مرید س. و فهیمی ه. ۱۳۸۶. تحلیل عدم قطعیت مدل‌های جفت شده اقیانوس-اتمسفر-گردش عمومی جو بر سناریوهای تعییر اقلیم دما و بارندگی در حوضه زاینده رود. کارگاه فنی اثرات تعییر اقلیم در مدیریت منابع آب. کمیته ملی آبیاری و زهکشی ایران.
- شهرابیفراز و قیامی باجگیرانی ع. ۱۳۸۰. پیش‌بینی درازمدت متغیرهای اقلیمی توسط مدل‌های رقومی گردش عمومی و روش‌های تبدیل مقیاس خروجی‌های این مدل‌های از مقیاس جهانی به منطقه‌ای. بولتن علمی مرکز اقلیم شناسی. جلد اول. شماره هشتم. صفحات: ۱۰-۲۲.
- علیزاده ا و کمالی غ. ۱۳۸۱. اثرات تعییر اقلیم بر افزایش مصرف آب کشاورزی در دشت مشهد. فصلنامه تحقیقات جغرافیایی. شماره‌های ۶۵ و ۶۶. صفحات: ۱۸۹-۲۰۱.
- غیور ح و مسعودیان ا. ۱۳۷۵. دریاره اقلیم و مدل‌سازی اقلیمی. مجله نیوار. صفحات: ۳۹-۵۰.
- 9- Abbaspour C.K., Faramarzi M., Seyed ghasemi S., and Yong H. 2009. Assessing the impact of climate change on water resources in Iran. Water Research. 45: 1-16.
- 10- Abdo K.S., Fiseha B.M., Rientjes T.H.M., Gieske A.S.M., and Haile A.T. 2009. Assessment of climate change impacts on the hydrology of Gilgel Abay catchment in Lake Tana Basin. Ethiopia. Hydrological Processes. Published online in Wiley InterScience ([www.interscience.wiley.com](http://www.interscience.wiley.com)) DOI: 10.1002/hyp.7363.
- 11- Baguis P., Roulin E., Willems P., and Ntegeka V. 2010. Climate change scenarios for precipitation and potential evapotranspiration over central Belgium. Theor Appl Climatol. 99: 273-286.
- 12- Bannayan M., Sanjani S., Alizadeh A., and Lotfabad S. 2010. Association between climate indices, aridity index, and rain fed crop yield in northeast of Iran. Field Crops Research Journal 118(2): 105-114.

- 13- Bannayan M., and Hoogenboom G. 2008. Daily weather sequence prediction realization using the non-parametric nearest-neighbor re-sampling technique. *Int. J. Climatol.* 28 (10), 1357-1368.
- 14- Benestad R.E. 2004. Empirical –Statistical downscaling in climate modeling. *EOS, Transactions American Geophysical Union.* 85(42): 417, doi: 10.1029/2004EO420002.
- 15- Chang H., Knight C.G., Staneva M.P., and Kostov D. 2002. Water resource impacts of climate change in southwestern Bulgaria. *GeoJournal.* 57: 159–168.
- 16- Doll P. 2002. Impact of climate change and variability on irrigation requirements: a global perspective. *Journal of climate change.* 54: 269-293.
- 17- Elmahdi A.N., Shahkarami S., Morid S., and Massah Bavani A.R. 2009. Assessing the impact of AOGCMs uncertainty on the risk of agricultural water demand caused by climate change. 18<sup>th</sup> world IMAGS/MODSIM Congress, Australia.
- 18- Falto G., and Boer G.J. 2001. Warming asymmetry in climate change simulations. *Geophysical Research Letters* 28: 195-198.
- 19- Ferrise R., Moriondo M., and Bindi M. 2009. Climate change and projected impacts in agriculture: an example on Mediterranean Crops. *Geophysical Research Abstracts.* Vol (11). EGU2009-7229.
- 20- Fuhrer J. 2003. Agro ecosystem responses to combination of evaluated CO<sub>2</sub>, ozone and global climate change. *Agriculture, Ecosystem and Environment.* 97: 1-20.
- 21- Gondim R., Castor M.A., Maia M., and Evangelista S. 2009. Climate change and water requirement at Jaguaribe river basin, semi-arid northeast of Brazil. *IOP Conf. series. Earth and Environmental Science.* Doi; 10.1088/1755-1307.
- 22- Gordon C., Cooper C., Seinor C.A., Banks H., Gregory J.M., Johns T.G., Mitchell J.F.B., and Wood R.A. 2000: The simulation of SST, Seas ice extents and ocean heat transports in a version of the Hadley Center coupled model without flux adjustment. *Clim Dynam.* 16, 147-168.
- 23- Hargreaves G.H., and Samani Z.A. 1985: Reference crop evapotranspiration from temperature. *Appl Eng Agric.* 1(2), 96-99.
- 24- Harmsen E., Miller N.L., Schlegel N.J., and Gonzalez J.E. 2009. Seasonal climate change impacts on evapotranspiration, precipitation deficit and crop yield in Puerto Rico. *Agricultural Water Management.* 96:1085–1095.
- 25- Hessami M., Gachon P., Quarda T.B.M.J., and St-Hilaire A. 2008. Automated regression-based Statistical Downscaling tool. *Environmental Modeling and Software.* 23(6): 813-834.
- 26- IPPC. 2001. Climate Change 2001: The Scientific Basis. Contribution of Working Group I to the Third Assessment Report of the Intergovernmental Panel on Climate Change. editors: J. T. Houghton, Y. Ding, D. J. Griggs, M. Noguer, P. J. Van der Linden, X. Dai, K. Maskell and C. A. Johnson. Cambridge. U. K. Cambridge University Press.
- 27- Liang L., Lijuan L., and Qiang L. 2010. Temporal variation of reference evapotranspiration during 1961-2005 in the Taoer river basin of Northeast China. *Agricultural and Forest Meteorology.* 150: 298-306.
- 28- Massah A.R., and Morid S. 2006. Impact of climate change on water resources and food production of zayandehrud basin. *Iranian journal of water resources.* 1(1): 40-47.
- 29- Maurer E.P., O'Donnell G.M., Lettenmaier D.P., and Roads J.O. 2001. Evaluation of the land surface water budget in NCEP/NCAR and NCEP/DOE reanalysis using an off-line hydrologic model. *Journal Geophysical Research.* 106: 17841-17862.
- 30- Mitchell JFB, Johns TC, Gregory JM, Tett S. 1995. Climate response to increasing levels of greenhouse gases as sulphate aerosols. *Nature* 376: 501-504.
- 31- Remrova M., and Cislerova M. 2010. Analysis of climate change effects on evapotranspiration in the watershed Uhlirska in the Jizera mountains. *Soil and water Research.* 5(1): 28-38.
- 32- Rodriguez Diaz J.A. Weatherhead J.W., Knox E. Camacho. 2007. Climate change impacts on irrigation water requirements in the Guadalquivir river basin in Spain. *Reg Environ Change.* 7:149–159.
- 33- Roy K., Rahman M., and Kuman U. 2009. Future climate change and moisture stress: Impact on crop agriculture in south-western Bangladesh. *Climate Change and Development Perspective.* 1(1):1-8.
- 34- Salathe E.P. 2003. Comparison of various precipitation downscaling methods for the simulation of stream flow in a rain shadow river basin. *International Journal of Climatology* 23: 887-901.
- 35- Soltani E., and Soltani A. 2008. Climate change of Khaorasan. North-East of Iran during 1950-2004. *Research Journal of Environmental Sciences.* 2(5): 316-322.
- 36- Wilby R.L., and Wigley T.M.L. 1997. Downscaling general circulation model output: a review of methods and limitations. *Progress in Physical Geography.* 21: 530-548.



## Comparison of Two GCM Models (HadCM3 and CGCM2) for the Prediction of Climate Parameters and Crop Water Use under Climate Change

(Case Study: Kashafrood Basin)

N. Sayari<sup>1\*</sup>-A. Alizadeh<sup>2</sup>- M. Bannayan Awal<sup>3</sup>- A. Farid Hossaini<sup>4</sup>- M.R. Hesami Kermani<sup>5</sup>

Received:

Accepted:

### Abstract

The climate change was known to force local hydrology, through changes in the pattern of precipitation, temperature and the other hydrological variables. In this research, the impact of global warming on maximum and minimum temperature, precipitation and evapotranspiration (wheat, corn, tomato and sugar beet) of Kashafrood basin under two climate change scenarios (A2 and B2), and the output of two GCM models (HadCM3 and CGCM2) for three period of times (2010-2039, 2040-2069 and 2070-2099), were investigated. For evaluation two scenarios were downscaled into local level with Automated Statistical Downscaling (ASD) model. Precipitation was expected to decrease and/or increase, depends on applied GCM. The results indicated that the annual precipitation decreased for three periods under CGCM2 model and also for two scenarios (A2 and B2) as much as 13%-16% decreasing, the annual precipitation for three periods under HadCM3 model and two scenarios (A2 and B2) as much as 2%-8% increasing. The maximum and minimum temperatures in the Kashafrood basin was predicted, which increased by CGCM2 and HadCM3 models with two scenarios. Based on the HadCM3 model, maximum and minimum temperatures were expected to increase 2.4 °C to 5.8 °C and 0.6 °C to 3.8 °C, respectively; for 2070-2099 periods. For CGCM2 model, maximum and minimum temperatures were expected to increase 0.06 °C to 2.59 °C and 0.1 °C to 1.9 °C respectively; for 2070-2099. Evapotranspiration under A2 and B2 scenarios and HadCM3 model was increased but increasing in evapotranspiration with CGCM2 model under both scenarios was not significant in many cases. The comparison of two models and also two scenarios indicated that more critical status for A2 scenario by using two GCM models for this basin.

**Keywords:** Climate change, General circulation model, Downscaling, HadCM3, CGCM2, Kashaf rood basin, Evapotranspiration

1,2,4- PhD Student, Professor, and Assistant Professor, Department of Water Engineering, Faculty of Agriculture, Ferdowsi University of Mashhad, Respectively

(\*- Corresponding Author Email: nasrin\_sayari@yahoo.com)

3- Associate Professor, Department of Agronomy and Plant Breeding, Faculty of Agriculture, Ferdowsi University of Mashhad

5- Assistant Professor, Department of Civil Engineering, Shahid Bahonar University of Kerman